

文章编号: 1001-0920(2013)04-0627-05

## 一类非线性系统的无超调控制

陈小平<sup>a</sup>, 徐红兵<sup>b</sup>

(电子科技大学 a. 空天科学技术研究院, b. 自动化工程学院, 成都 611731)

**摘要:** 针对一类严格反馈非线性系统, 利用后推法设计一种无超调跟踪控制律. 对于阶数小于4的对象, 给出了控制律参数应满足的充要条件; 对于阶数更高的对象, 给出了求解一个充分条件的方法. 该控制律适用于零与非零初始条件, 且参考输出不限制为阶跃信号. 通过两个数值仿真例子验证了所提出控制律的有效性.

**关键词:** 无超调控制; 严格反馈非线性系统; 后推法

**中图分类号:** TP273

**文献标志码:** A

## Non-overshooting control for a class of nonlinear systems

CHEN Xiao-ping<sup>a</sup>, XU Hong-bing<sup>b</sup>

(a. Institute of Astronautics and Aeronautics, b. School of Automation, University of Electronic Science and Technology of China, Chengdu 611731, China. Correspondent: CHEN Xiao-ping, E-mail: xpchen@uestc.edu.cn)

**Abstract:** A non-overshooting control law for a class of strict-feedback nonlinear systems is developed by using the backstepping method. For the systems with an order smaller than forth, a sufficient and necessary condition to assure no overshoot is presented; while for those with a higher order, a method to derive sufficient conditions is proposed. The control law is applied to both zero and non-zero initial conditions, and moreover does not require the reference to be a step signal. Two simulation examples demonstrate the effectiveness of the control law.

**Key words:** non-overshooting control; strict-feedback nonlinear systems; backstepping

### 0 引言

控制工程中的很多问题, 往往要求实现系统输出对参考信号的小超调甚至无超调跟踪, 例如高精度车床的进给控制, 雕刻机探针的位置控制等.

近十几年来, 线性系统的无超调控制问题得到较多的研究<sup>[1-7]</sup>. 对于单入-单出低阶线性系统, 通过分析响应或误差的解析表达式, 容易求取无超调的充要条件<sup>[1-3, 6]</sup>. 对于高阶或多入-多出系统, 通过分析误差的脉冲响应函数<sup>[4-5]</sup>或采用基于状态空间描述的分析方法<sup>[7]</sup>, 也得到了一些充分条件.

非线性系统的无超调控制具有挑战性, 研究结果很少, 仅见文献[8]针对一类特殊非线性系统, 给出了一种无超调控制设计方法. 该文的研究思路是: 利用backstepping<sup>[9]</sup>技术构造控制律, 获得了链式的闭环误差动态方程, 其第1个状态为跟踪误差; 通过选择设计参数保证所用状态的初值为负, 以使得所有状态在收敛过程中都保持为负. 这种通过所有状态恒负来保证第1个状态恒负的思路显然具有较大的保守性, 所

获得的条件都是充分的, 但不一定必要.

本文借助于backstepping技术, 为严格反馈非线性系统设计无超调控制律, 构造出相同于文献[8]中式(10)~(11)的链式误差动态方程. 与文献[8]不同的是, 本文对于阶数小于4的对象, 求解了设计参数和初值应满足的充要条件; 对于阶数更高的对象, 给出了求解一个充分条件的方法. 与文献[8]中的条件相比, 不管对于低阶或高阶对象, 本文获得的无超调条件覆盖的参数域更广. 通过仿真例子验证了本文控制律和参数条件的有效性, 同时反映了文献[8]中条件的保守性.

### 1 问题提出

考虑如下严格反馈非线性系统:

$$\begin{aligned} \dot{x}_i &= x_{i+1} + \varphi_i(\bar{x}_i), \quad i = 1, 2, \dots, n-1, \\ \dot{x}_n &= u + \varphi_n(\bar{x}_n), \\ y &= x_1. \end{aligned} \quad (1)$$

收稿日期: 2011-11-09; 修回日期: 2012-04-05.

基金项目: 国家863计划项目(2009AA7060501).

作者简介: 陈小平(1970-), 男, 高级工程师, 从事导航与运动控制技术的研究; 徐红兵(1966-), 男, 教授, 博士生导师, 从事控制科学与工程等研究.

其中:  $x_i, y$  和  $u$  分别表示系统状态、输出和输入;  $\bar{x}_i = [x_1, \dots, x_i]^T$ ; 非线性项  $\varphi_i(\cdot)$  是  $n-1$  次可微的.

用  $y_r(t)$  表示  $n$  次时间可微的参考信号, 并定义误差

$$e(t) \triangleq y_r(t) - y(t). \quad (2)$$

基于式 (2), 本文无超调的含义是: 若  $e(t)$  的符号在  $t \in [0, +\infty)$  内不发生变化, 则无超调. 本文的研究目标是: 为系统 (1) 设计控制律, 以保证闭环输出  $y(t)$  渐近跟踪  $y_r(t)$ , 而且  $e(t)$  在  $t \in [0, +\infty)$  时段内不变号. 为简便起见, 不失一般性, 这里仅讨论使  $e(t)$  非负的情况, 即保证

$$e(t) \geq 0, \forall t \geq 0. \quad (3)$$

## 2 控制律设计与无超调条件分析

### 2.1 控制律设计

对于系统 (1), 考虑如下形式的坐标变换:

$$z_i = x_i - \alpha_{i-1} - y_r^{i-1}, \quad i = 1, 2, \dots, n. \quad (4)$$

其中

$$\begin{aligned} \alpha_0 &= 0, \\ \alpha_i(\bar{x}_i, \bar{y}_r^{i-1}) &= -c_i z_i - \varphi_i + \dot{\alpha}_{i-1}, \quad i \geq 1. \end{aligned} \quad (5)$$

这里:  $\bar{y}_r^{i-1} = [y_r, \dots, y_r^{i-1}]^T$ ;  $c_i > 0$  是反馈增益;  $\dot{\alpha}_{i-1}$  是  $\alpha_{i-1}$  的时间导数, 其解析表达式为

$$\dot{\alpha}_{i-1} = \sum_{j=1}^{i-1} \left[ \frac{\partial \alpha_{i-1}}{\partial x_j} (x_{j+1} + \varphi_j) + \frac{\partial \alpha_{i-1}}{\partial y_r^{j-1}} y_r^j \right]. \quad (6)$$

在  $z_i$  坐标系中, 设计控制律

$$u = \alpha_n + y_r^n, \quad (7)$$

联立式 (1) 和 (4)~(7), 得到  $z_i$  坐标系中的闭环系统为

$$\begin{aligned} \dot{z}_i &= -c_i z_i + z_{i+1}, \quad i = 1, 2, \dots, n-1, \\ \dot{z}_n &= -c_n z_n. \end{aligned} \quad (8)$$

对于系统 (8), 容易验证其特征根为  $-c_i < 0, i = 1, 2, \dots, n$ , 因此当  $t \rightarrow \infty$  时,  $z_i(t) \rightarrow 0$ . 由变换 (4) 的可逆性和  $y_r(t)$  的光滑性易知,  $x_i$  是收敛的.

### 2.2 无超调条件分析

由式 (1)~(2) 和 (4)~(5) 可得

$$e(t) = -z_1(t), \quad (9)$$

因此, 条件  $e(t) \geq 0$  等价于条件  $z_1(t) \leq 0$ .

对方程 (8) 进行拉氏变换可得

$$\begin{aligned} z_i(s) &= \frac{z_i(0)}{s + c_i} + \frac{z_{i+1}(s)}{s + c_i}, \quad i = 1, 2, \dots, n-1, \\ z_n(s) &= \frac{z_n(0)}{s + c_n}. \end{aligned} \quad (10)$$

其中:  $z_i(s)$  表示  $z_i(t)$  的拉氏变换,  $z_i(0)$  表示  $z_i$  坐标系中状态的初值.

对式 (10) 进行迭代运算可得

$$z_1(s) = \sum_{i=1}^n z_{1i}(s), \quad (11)$$

其中

$$z_{1i}(s) = z_i(0) / \prod_{j=1}^i (s + c_j). \quad (12)$$

式 (11) 和 (12) 说明,  $z_1(s)$  等于  $n$  个组份之和. 为了实现  $z_1(t) \leq 0$ , 文献 [8] 的思路是: 合理选择  $c_i$  使得  $z_i(0) < 0, i = 1, 2, \dots, n$ . 这种选择导致  $z_{1i}(s)$  具有负的脉冲响应, 即  $z_{1i}(t) < 0$ . 显然, 为了保证  $z_1(t) \leq 0$ , 并没有必要要求  $z_j(t) \leq 0, j = 2, 3, \dots, n$ . 从这个角度看, 文献 [8] 的思路是保守的. 下面将分别针对低阶和高阶对象, 给出无超调的充要条件和求解一个充分条件的方法, 以获得更广的参数覆盖域, 减小保守性.

1)  $n = 1$  情况.

对于一阶对象, 控制律 (7) 变成

$$u = \underbrace{c_1(y_r - y)}_{\text{P control}} - \varphi_1(y) + \dot{y}_r, \quad (13)$$

获得的闭环系统是  $\dot{z}_1 = -c_1 z_1$ . 显然, 保证  $z_1(t) \leq 0$  的充要条件是

$$\begin{cases} z_1(0) \leq 0, \\ c_1 > 0. \end{cases} \quad (14)$$

与文献 [8] 中结果的区别是: 条件 (14) 涵盖了  $z_1(0) = 0$  的情况.

2)  $n = 2$  情况.

对于  $n = 2$ , 控制律 (7) 变成

$$\begin{aligned} u &= -c_1 c_2 x_1 - \left( c_1 + c_2 + \frac{\partial \varphi_1}{\partial x_1} \right) (x_2 + \varphi_1) - \\ &\quad \varphi_2 + c_1 c_2 y_r + (c_1 + c_2) \dot{y}_r + \ddot{y}_r. \end{aligned} \quad (15)$$

由式 (11) 可得相应的  $z_1(s)$  的表达式为

$$z_1(s) = \frac{z_1(0)(s + c_2) + z_2(0)}{(s + c_1)(s + c_2)}. \quad (16)$$

直接解析  $z_1(t)$ , 并通过简单的分析可知,  $z_1(t) \leq 0$  当且仅当下列条件之一成立:

$$\begin{cases} z_1(0) \leq 0, \\ z_2(0) \leq 0; \end{cases} \quad (17)$$

$$\begin{cases} z_1(0) < 0, \\ z_2(0) > 0, \\ z_2(0)/z_1(0) \geq c_1 - c_2. \end{cases} \quad (18)$$

对于二阶对象 (1), 有如下结论:

**定理 1** 应用控制律 (15) 于  $n = 2$  的对象 (1), 闭环响应  $z_1(t) \leq 0$  当且仅当条件 (17) 或 (18) 成立.

**注 1** 利用文献 [8] 的思路获得的条件是  $z_i(0) < 0, i = 1, 2$ . 该条件显然只是条件 (17) 的一个真子集 (因为条件 (17) 允许  $z_1(0) = 0$  和/或  $z_2(0) = 0$ ); 而且式 (18) 说明, 定理 1 条件包含了  $z_2(0) > 0$  的可能.

当  $\varphi_1(x_1) = \varphi_2(\bar{x}_2) \equiv 0$  时, 即当 (1) 为双积分时,

式(15)变成

$$u = \underbrace{c_1 c_2 (y_r - x_1)}_{\text{P control}} + \underbrace{(c_1 + c_2)(\dot{y}_r - x_2)}_{\text{D control}} + \ddot{y}_r. \quad (19)$$

显然, 式(19)比标准PD控制律多了 $\dot{y}_r$ 项. 这一项的作用很重要, 因为标准PD控制律无法实现对双积分的无超调阶跃响应控制<sup>[6]</sup>.

3)  $n = 3$  情况.

此时, 控制律(7)变成

$$u = -c_1 c_2 c_3 x_1 - \left[ c_1 c_2 + c_1 c_3 + c_2 c_3 + \frac{\partial \varphi_2}{\partial x_1} + \left( c_1 + c_2 + c_3 + \frac{\partial \varphi_1}{\partial x_1} \right) \frac{\partial \varphi_1}{\partial x_1} + (x_2 + \varphi_1) \frac{\partial^2 \varphi_1}{\partial x_1^2} \right] \times (x_2 + \varphi_1) - \left( c_1 + c_2 + c_3 + \frac{\partial \varphi_1}{\partial x_1} + \frac{\partial \varphi_2}{\partial x_2} \right) \times (x_3 + \varphi_2) + c_1 c_2 c_3 y_r + (c_1 c_2 + c_1 c_3 + c_2 c_3) \dot{y}_r + (c_1 + c_2 + c_3) \ddot{y}_r + \ddot{y}_r - \varphi_3. \quad (20)$$

对应 $z_1(s)$ 的表达式形式为

$$z_1(s) = \frac{a_2 s^2 + a_1 s + a_0}{(s + c_1)(s + c_2)(s + c_3)}.$$

其中

$$\begin{aligned} a_2 &= z_1(0), \\ a_1 &= c_2 z_1(0) + c_3 z_1(0) + z_2(0), \\ a_0 &= c_2 c_3 z_1(0) + c_3 z_2(0) + z_3(0). \end{aligned} \quad (21)$$

为便于分析, 定义 $z_1(s)$ 的分子多项式函数 $f(x)$ 为

$$f(x) = a_2 x^2 + a_1 x + a_0, \quad x \in R. \quad (22)$$

将式(21)代入(22), 并分别取 $x = -c_1, -c_2, -c_3$ , 可得

$$f(-c_1) = z_3(0) + (c_3 - c_1)z_2(0) + (c_2 - c_1)(c_3 - c_1)z_1(0), \quad (23)$$

$$f(-c_2) = z_3(0) + (c_3 - c_2)z_2(0), \quad (24)$$

$$f(-c_3) = z_3(0). \quad (25)$$

对于 $c_1, c_2, c_3$ 这3个正常数, 它们之间存在4种典型关系: 1) 3个互不相等, 不妨设 $c_1 < c_2 < c_3$ ; 2) 仅较大的两个相等, 不妨设 $c_1 < c_2 = c_3$ ; 3) 仅较小的两个相等, 不妨设 $c_1 = c_2 < c_3$ ; 4) 3个都相等, 即 $c_1 = c_2 = c_3$ . 针对这4种典型关系, 分别应用文献[2]中的引理A1~A4, 可得如下的结论:

**结论1** 当 $c_1 < c_2 < c_3$ 时,  $z_1(t) \leq 0$ 当且仅当下列条件之一成立:

$$\begin{cases} z_1(0) \leq 0, \\ f(-c_1) \leq 0, \\ f(-c_2) \geq 0; \end{cases} \quad (26)$$

$$\begin{cases} z_1(0) \leq 0, \\ f(-c_1) \leq 0, \\ f(-c_2) < 0, \\ f(-c_3) \geq f(-c_2); \end{cases} \quad (27)$$

$$\begin{cases} z_1(0) \leq 0, \\ f(-c_1) \leq 0, \\ f(-c_2) < 0, \\ f(-c_3) < f(-c_2), \\ \frac{c_3 - c_1}{c_2 - c_1} \ln \frac{f(-c_1)}{f(-c_2)} \geq \ln \frac{f(-c_2)}{f(-c_3)}. \end{cases} \quad (28)$$

**结论2** 当 $c_1 < c_2 = c_3$ 时,  $z_1(t) \leq 0$ 当且仅当下列条件之一成立:

$$\begin{cases} z_1(0) \leq 0, \\ f(-c_1) \leq 0, \\ f(-c_3) \geq f(-c_1); \end{cases} \quad (29)$$

$$\begin{cases} z_1(0) \leq 0, \\ f(-c_1) < 0, \\ f(-c_3) < f(-c_1), \\ \frac{(c_1 - c_3)z_2(0)}{f(-c_3)} \geq \ln \frac{f(-c_3)}{f(-c_1)}. \end{cases} \quad (30)$$

**结论3** 当 $c_1 = c_2 < c_3$ 时,  $z_1(t) \leq 0$ 当且仅当下列条件之一成立:

$$\begin{cases} z_1(0) \leq 0, \\ f(-c_1) = 0, \\ (c_3 - c_1)z_1(0) + z_2(0) \leq 0; \end{cases} \quad (31)$$

$$\begin{cases} z_1(0) \leq 0, \\ f(-c_1) < 0, \\ f(-c_3) \geq f(-c_1); \end{cases} \quad (32)$$

$$\begin{cases} z_1(0) \leq 0, \\ f(-c_1) < 0, \\ f(-c_3) < f(-c_1), \\ \frac{[(c_3 - c_1)z_1(0) + z_2(0)](c_3 - c_1)}{f(-c_1)} \geq \ln \frac{f(-c_1)}{f(-c_3)}. \end{cases} \quad (33)$$

**结论4** 当 $c_1 = c_2 = c_3$ 时,  $z_1(t) \leq 0$ 当且仅当下列条件之一成立:

$$\begin{cases} z_1(0) \leq 0, \\ z_2(0) \leq 0, \\ z_3(0) \leq 0; \end{cases} \quad (34)$$

$$\begin{cases} z_1(0) < 0, \\ 2z_1(0)z_3(0) \geq z_2^2(0). \end{cases} \quad (35)$$

综合上述分析, 可得如下的设计结果:

**定理2** 控制律(20)作用于 $n = 3$ 的对象(1), 闭环响应 $z_1(t) \leq 0$ 当且仅当条件(26)~(35)其中之一成立.

**注2** 按文献[8]的思路获得的条件( $z_i(0) < 0, i = 1, 2, 3$ )只是上述条件(27)或(29)或(32)或(34)的一个真子集, 因此也只是定理2条件的一个真子集; 而且定理2中其他条件, 如(26), (28), (30), (31), (33), (35)都可能包含 $z_2(0) > 0$ 和/或 $z_3(0) > 0$ 的情况, 后

面的仿真例子 2 将证实这一点.

当对象 (1) 为三重积分链, 即  $\varphi_1(x_1) = \varphi_2(\bar{x}_2) = \varphi_3(\bar{x}_3) \equiv 0$  时, 式 (20) 变成

$$u = \underbrace{c_1 c_2 c_3 (y_r - x_1)}_{\text{P control}} + \underbrace{(c_1 c_2 + c_1 c_3 + c_2 c_3) (\dot{y}_r - x_2)}_{\text{D control}} + \underbrace{(c_1 + c_2 + c_3) (\ddot{y}_r - x_3)}_{\text{D}^2 \text{ control}} + \ddot{y}_r. \quad (36)$$

式 (36) 比标准 PDD<sup>2</sup> 多了  $\ddot{y}_r$  项. 该项的作用很重要, 因为由文献 [10] 中的引理 8.1 可知, 对于三重积分链, 标准 PDD<sup>2</sup> 控制无法获得无超调的阶跃响应.

**注 3** 这里只讨论了 4 种典型情况, 并没有涵盖所有可能的情况. 其他情况的结果都可从上述结果中简单推出. 例如, 对于  $c_1 > c_2 > c_3$  的情形, 只需把式 (26) ~ (28) 中的  $f(-c_3)$  和  $f(-c_1)$  分别替换为  $f(-c_1)$  和  $f(-c_3)$  即可.

4)  $n \geq 4$  情况.

随着  $n$  的增大, 直接分析  $z_1(s)$  或  $z_1(t)$  都很复杂. 若采用文献 [8] 的思路, 获得的条件又过于保守. 这里给出一种折中方法: 先依次合并  $z_{1i}(s)$  ( $i = 1, 2, \dots, n$ ) 中相邻的 2 项或 3 项, 以获得粒度更大的  $m$  个组份  $Z_{1j}$  ( $j = 1, 2, \dots, m$ ), 显然有  $n/3 \leq m \leq n/2$ ; 然后利用上述 2 阶、3 阶对象的结果和文献 [5] 的 Fact 4, 求解  $Z_{1j}$  脉冲响应非正的充分 (或充要) 条件, 再取其交集, 即可得到  $z_1(s)$  脉冲响应处处非正的一个充分条件. 例如, 对于  $n = 4$ ,  $z_1(s)$  的表达式 (11) 可重新分解为

$$z_1(s) = Z_{11}(s) + Z_{12}(s). \quad (37)$$

其中:  $Z_{11}(s)$  和  $Z_{12}(s)$  可由下式

$$\begin{aligned} Z_{11}(s) &= z_{11}(s) + z_{12}(s) + z_{13}(s), \\ Z_{12}(s) &= z_{14}(s), \end{aligned} \quad (38)$$

或

$$\begin{aligned} Z_{11}(s) &= z_{11}(s) + z_{12}(s), \\ Z_{12}(s) &= z_{13}(s) + z_{14}(s) \end{aligned} \quad (39)$$

给出.  $z_{1i}(s)$  的表达式见式 (12),  $i = 1, 2, 3, 4$ .

对于分解形式 (38), 利用上述三阶对象的分析结果, 可以得到  $Z_{11}(s)$  脉冲响应处处非正的充要条件, 而对于  $Z_{12}(s)$ , 也易知其脉冲响应处处非正的充要条件是  $z_4(0) \leq 0$ . 显然, 这两个条件的交集是  $z_1(s)$  脉冲响应处处非正的一个充分条件. 这个交集不为空, 因为条件  $z_j(0) \leq 0$  ( $j = 1, 2, 3, 4$ ) 属于这个交集. 利用这种方法, 对于分解式 (39), 也能获得一个充分条件.

上述分解思想的可行性由如下引理保证:

**引理 1** 大于或等于 4 的自然数  $n$  总可以分解成  $n_1$  个 2 和  $n_2$  个 3 之和, 即

$$n = 2n_1 + 3n_2, \quad (40)$$

其中  $n_1 \geq 0$  和  $n_2 \geq 0$  为整数.

**证明** 借助于数学归纳法完成.

1) 证明  $n = 4$  (偶数) 和  $n = 5$  (奇数) 时, 分解关系式 (40) 成立. 显然, 对于  $n = 4$ , 可取  $n_1 = 2, n_2 = 0$ ; 对于  $n = 5$ , 可取  $n_1 = 1, n_2 = 1$ .

2) 假设  $n = k \geq 4$  时式 (40) 成立, 即有

$$k = 2k_1 + 3k_2. \quad (41)$$

其中:  $k$  为偶数时,  $k_1 \geq 1, k_2 \geq 0$ ;  $k$  为奇数时,  $k_1 \geq 0, k_2 \geq 1$ .

3) 证明  $n = k + 1$  时, 这种分解关系也成立. 这里给出一种构造性证明. 当  $k$  为偶数时, 由式 (41) 可得

$$k + 1 = 2(k_1 - 1) + 3(k_2 + 1). \quad (42)$$

即说明  $k + 1$  可以分解成  $(k_1 - 1)$  个 2 和  $(k_2 + 1)$  个 3 之和, 而且结合第 2) 步的假设可知,  $(k_1 - 1) \geq 0, (k_2 + 1) \geq 1$ . 当  $k$  为奇数时, 由式 (41) 可得

$$k + 1 = 2(k_1 + 2) + 3(k_2 - 1). \quad (43)$$

即说明  $k + 1$  可以分解成  $(k_1 + 2)$  个 2 和  $(k_2 - 1)$  个 3 之和, 而且结合第 2) 步的假设可知,  $(k_1 + 2) \geq 2, (k_2 - 1) \geq 0$ . 这表明, 不管  $k + 1$  为奇数还是偶数, 都有分解关系式 (40) 成立.  $\square$

引理 1 说明, 对于任意的  $n = k \geq 4$ , 总可以把  $z_1(s)$  分解成  $m$  ( $m = n_1 + n_2$ ) 个组份之和. 实际上, 它们的脉冲响应非正条件的交集构成了  $z_1(s)$  脉冲响应非正的一个充分条件. 这个交集不为空, 因为条件  $z_j(0) \leq 0$  ( $j = 1, 2, \dots, n$ ) 显然属于该集合.

### 3 数值仿真

**例 1** 选取文献 [8] 中的例子 2, 这里考虑二阶对象 (1). 其中: 非线性项  $\varphi_1(x_1) = x_1^2, \varphi_2(\bar{x}_2) \equiv 0$ ; 参考信号  $y_r(t) = 1 - \sin t$ ; 初始条件  $x_1(0) = 0, x_2(0) = 1$ . 相应地,  $z_1(0) = -1$ .

对于控制律 (15), 选择  $c_1 = 1.5, c_2 = 2$ , 该组增益比文献 [8] 中的增益 ( $c_1 = c_2 = 3$ ) 小, 而且导致  $z_2(0) = 0.5 > 0$ . 这样的参数取值满足本文条件 (18), 相应的控制效果如图 1 所示. 可见,  $z_1(t)$  和  $z_2(t)$  都逐渐收敛到零, 而且  $z_1(t)$  保持恒负,  $z_2(t)$  恒正.

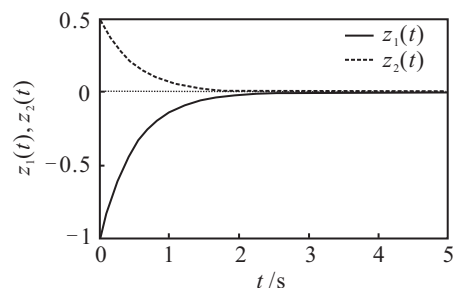


图 1 二阶对象的控制效果

**例2** 考虑三阶对象(1). 其中: 非线性项  $\varphi_1(x_1) = x_1^2$ ,  $\varphi_2(\bar{x}_2) = x_2^2$ ,  $\varphi_3(\bar{x}_3) = x_1x_2x_3$ ; 参考信号  $y_r(t) = 1 - \sin t$ ; 初始条件  $x_1(0) = 0$ ,  $x_2(0) = 1$ ,  $x_3(0) = -5$ . 相应地,  $z_1(0) = -1$ .

对于控制律(20), 选择  $c_1 = 1$ ,  $c_2 = 4$ ,  $c_3 = 2$ . 该组增益导致  $z_2(0) = 1 > 0$ ,  $z_3(0) = 2 > 0$ ,  $f(-c_1) = 0$ ,  $f(-c_2) = 0$ ,  $f(-c_3) = 2$ , 而且条件(26)满足, 相应的控制效果如图2所示. 从图2可以看出,  $z_1(t)$ ,  $z_2(t)$  和  $z_3(t)$  渐近收敛到零, 而且  $z_1(t)$  保持恒负,  $z_2(t)$  和  $z_3(t)$  恒正.

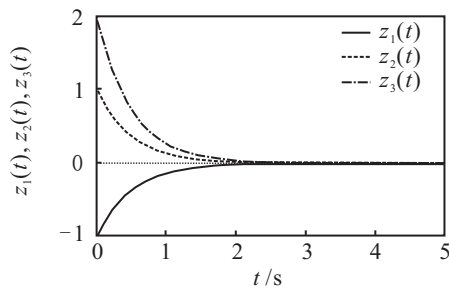


图2 三阶对象的控制效果

## 4 结 论

非线性系统的无超调控制问题具有挑战性. 本文基于坐标变换和后推法, 为一类严格反馈非线性系统设计了无超调控制律. 针对阶数低于4的对象, 给出了无超调的充要条件; 针对阶数等于或高于4的对象, 给出了求解一个充分条件的方法. 该控制律实现了闭环系统输出对参考信号(可为非阶跃类型的信号)的无超调跟踪, 而且初始条件允许非零.

## 参考文献(References)

- [1] Jayasuriya S, Song J W. On the synthesis of compensators for nonovershooting step response[J]. ASME J of Dynamic Systems, Measurement and Control, 1996, 118(4): 757-763.
- [2] Lin S K, Fang C J. Nonovershooting and monotone non-decreasing step responses of a third-order SISO linear system[J]. IEEE Trans on Automatic Control, 1997, 42(9): 1299-1303.
- [3] Beker O, Hollot C V, Chait Y. Plant with integrator: An example of reset control overcoming limitations of linear feedback[J]. IEEE Trans on Automatic Control, 2001, 46(11): 1797-1799.
- [4] Darbha S, Bhattacharyya S P. On the synthesis of controllers for a nonovershooting step response[J]. IEEE Trans on Automatic Control, 2003, 48(5): 797-799.
- [5] Bement M, Jayasuriya S. Construction of a set of nonovershooting tracking controllers[J]. ASME J of Dynamic Systems, Measurement and Control, 2004, 126(3): 558-567.
- [6] 朱波, 王新华, 蔡开元. 双积分系统阶跃响应快速无超调控制: 一种增益切换非线性PD控制[J]. 控制理论与应用, 2009, 26(10): 1119-1125.  
(Zhu B, Wang X H, Cai K Y. Fast and nonovershooting control for double-integral system with step input: Nonlinear PD control based on gain-switching[J]. Control Theory & Applications, 2009, 26(10): 1119-1125.)
- [7] Schmid R, Ntogramatzidis L. Achieving a nonovershooting transient response with multivariable dynamic output feedback tracking controllers[C]. The 48th IEEE Conf on Decision and Control and the 28th Chinese Control Conf. 2009: 5328-5332.
- [8] Krstic M, Bement M. Nonovershooting control of strict-feedback nonlinear systems[J]. IEEE Trans on Automatic Control, 2006, 51(12): 1938-1943.
- [9] Krstic M, Kokotovic P V, Kanellakopoulos I. Nonlinear and adaptive control design[M]. Washington: Wiley, 1995: 22-65.
- [10] Goodwin G C, Graebe S F, Salgado M E. Control system design[M]. New Jersey: Prentice Hall, 2000: 30-50.
- [11] Hu T, Lin Z L. Properties of the composite quadratic Lyapunov functions[J]. IEEE Trans on Automatic Control, 2004, 49(7): 1162-1167.
- [12] Mason O, Shorten R. On common quadratic Lyapunov functions for stable discrete-time LTI systems[J]. IMA J of Applied Maths, 2004, 69(3): 271-283.
- [13] Knorn F, Mason O, Shorten R. On linear co-positive Lyapunov functions for sets of linear positive systems[J]. Automatica, 2009, 45(8): 1943-1947.
- [14] Cheng D, Guo L, Huang J. On quadratic Lyapunov function[J]. IEEE Trans on Automatic Control, 2003, 48(5): 885-890.
- [15] Wagener A. Geometric division with a fixed point: Not half the cake, but at least 4/9[J]. Group Decision Negotiation, 2006, 15(1): 43-53.

(上接第626页)